



## بررسی آلودگی و تعیین پراکنش ویروس زردی چغندرقند (BYV) در مزارع استان خراسان رضوی

عطیه ذبیح نیا مقدم<sup>۱</sup>- بهروز جعفرپور<sup>۲</sup>- ماهرخ فلاحتی رستگار<sup>۳</sup>- ناهید گرایلی<sup>۴</sup>

تاریخ دریافت: ۸۷/۱۱/۲۶

تاریخ پذیرش: ۸۹/۹/۲

### چکیده

به منظور بررسی و تعیین پراکنش ویروس زردی چغندرقند استان خراسان رضوی جمع آوری شد. نمونه برداری به دو صورت جمع آوری گیاهان دارای عالیم کوتولگی، زرد شدن یا روشن شدن رگبرگ، ضخیم و شکننده شدن برگها و همچنین به روش تصادفی جهت تعیین پراکنش انجام شد. برای شناسایی عامل این ویروس از روش های سرولوژیکی DAS-ELISA و مولکولی RT-PCR استفاده شد و نهایتاً در گیاهان بیمار با عالیم مذکور، ویروس زردی چغندرقند (BYV) تشخیص داده شد. باند حاصل از واکنش RT-PCR با اندازه ۳۳۲bp بر روی ژل آگارز ۱ درصد مشاهده شد. وجود این ناحیه تکثیر شده در نمونه های آلود، نشان از آلودگی به ویروس مذکور را در مناطق بررسی شده دارد. بر اساس نتایج به دست آمد، شهرستان های تربت حیدریه با ۴/۸ درصد و نیشابور با ۱۷/۸ درصد به ترتیب بیشترین و کمترین میزان آلودگی را دارا بودند. متوسط میزان پراکنش BYV در استان خراسان رضوی در این سال، ۱۰ درصد تعیین شد.

### واژه های کلیدی: RT-PCR, DAS- ELISA, Beet Yellows Virus

### مقدمه

باشند. واتسون (۲۳) در سال ۱۹۵۲ اولین بار به این نکته اشاره کرد که امکان دارد زردی های ویروسی به وسیله ترکیبی از بیماری های زردی ایجاد شوند. وی زمانی به این نکته دست یافت که متوجه شد ویروس زردی خفیف از ایرلند قادر نیست با آنتی سرم اختصاصی ویروس زردی چغندرقند رسبوب نماید. براین اساس راسل (۱۴) در سال ۱۹۵۸ انتشار وسیع و اهمیت اقتصادی یک ویروس زردی چغندرقند با نام ویروس زردی خفیف چغندرقند را به طور مفصل شرح داد.

وجود بیماری زردی ویروسی در چغندرکاری های کرج، اراک، کرمانشاه و بروجرد و در قزوین و همدان به اثبات رسیده است (۲). ایزدپناه در سال ۱۳۶۱ این بیماری را در بعضی از مزارع منطقه فارس مشاهده نموده است (۳). حسین بیات در سال ۱۳۷۹ آلودگی مزارع چغندرقند به این ویروس را در نواحی شمالی استان خراسان مورد بررسی قرار داد. نامبرده متوسط میزان پراکنش این ویروس را در سال های ۱۳۷۸ و ۱۳۷۹، به ترتیب ۴ و ۷/۴ درصد گزارش نمود که شهرستان قوچان حداقل آلودگی را به BYV دارا بود (۴).

عضو شاخص جنس BYV، با پیکره های Closterovirus رشته ای خمش پذیر و طول ذره ۱۲۵۰ nm و قطر ۱۲ nm می باشد

اولین بار زردی های چغندرقند توسط کوانجر<sup>۵</sup> در سال ۱۹۳۴ شرح داده شد. رونالد<sup>۶</sup> و وان شرون<sup>۷</sup> در سال ۱۹۳۶ ویروس را عامل این زردی دانستند و نشان دادند که عامل بیماری توسط شته ها منتقل می شود. در ابتدا همه عوامل تحریک کننده زردی به نام زردی های ویروسی نامیده می شدند (۱). در سال ۱۹۴۰ واتسون (۲۲) به طور قطع ویروس را در انگلستان شناسایی کرد و عنوان بیماری زردی چغندرقند را به کار برد. در همین سال این ویروس از آمریکا نیز گزارش شد (۱۶). در سال ۱۹۴۸ کلینیچ و لوگنان (۸) شیوع دو ویروس زردی خفیف را در ایرلند مورد بحث قرار دادند، اما آنها نتیجه گرفتند که آن دو ویروس، نزدی از ویروس زردی چغندر می

۱، ۲، ۳ و ۴- به ترتیب دانشجوی کارشناسی ارشد، استاد، استاد و دانشجوی کارشناسی ارشد گروه گیاهپزشکی، دانشکده کشاورزی، دانشگاه فردوسی مشهد  
(\*)- نویسنده مسئول: Email: atiye.zabihnia@yahoo.com

5- Quanjer

6- Ronald

7- Van Shreven

انتقال از طریق سس توسط گونه های متعددی انجام می شود. شته ها می توانند ویروس را از گونه های سس که انتقال دهنده ویروس نیستند و روی گیاهان آلوده رشد می کنند، دریافت کنند (۶). این ویروس توانایی انتقال با پیوند را نیز دارا می باشد. هیچ گزارشی مبنی بر انتقال از طریق بذر و دانه گرده این ویروس تأیید نشده است (۱۹).

ویروس زردی چغندرقند دامنه میزبانی متوسطی دارد. ۱۵ خانواده دارای ۱۲۱ گونه حساس به این ویروس می باشند. با این حال بیشتر گونه های حساس به این ویروس در ۴ خانواده Aizoaceae، Chenopodiaceae، Caryophyllaceae، Amaranthaceae قرار دارند (۶ و ۹).

اهمیت محصول چغندرقند در صنعت تولید قند کشور ایجاب می کند، عواملی که باعث وارد آمدن خسارت به این محصول و متعاقب آن کاهش سطح تولید قند می شوند، شناسایی و راه های مؤثر در جهت کنترل آنها ارائه گردد. از بین بیماری های چغندرقند که از مهم ترین عوامل جهت پائین آمدن سطح تولید می باشند، می توان به بیماری های ویروسی اشاره کرد. ویروس زردی چغندرقند جزو ویروس های مهم خسارت زا به گیاه چغندر می باشد (۲۱). با توجه به اهمیت موضوع بررسی آلودگی و تعیین پراکنش این ویروس به عنوان موضوع این تحقیق قرار گرفت.

## مواد و روش ها

### نمونه برداری

به منظور شناسایی و تعیین پراکنش ویروس زردی چغندرقند (BYV) در تابستان ۱۳۸۶ از مزارع چغندرقند استان خراسان رضوی (شهرستان های چناران، قوچان، فریمان، تربت جام، کاشمر، تربت حیدریه، نیشابور و خومه مشهد) نمونه برداری به عمل آمد. نمونه های مشکوک به بیماری که معمولاً دارای عالئمی نظری روش شدن رگبرگ، زردی، ضخیم و شکننده شدن برگ ها و همچنین نقاط نکروتیک بر روی برگ ها بودند، جمع آوری شده و پس از ثبت مشخصات در پاکت های پلاستیکی قرار داده شد. در مجاورت یخ، به آزمایشگاه منتقل و در یخچال در دمای  $4^{\circ}\text{C}$  نگهداری گردید. همچنین به منظور تعیین پراکنش ویروس مذبور از مزارع فوق، به صورت کاملاً تصادفی و در امتداد اقطار مزرعه نیز نمونه برداری انجام شد (۴).

### بررسی آلودگی نمونه ها با استفاده از روش ساندویچ

#### دوطرفه الیزا

آزمون ساندویچ دوطرفه الیزا (DAS-ELISA) طبق روش

(۲۱). اسید نوکلئیک ویروس از نوع RNA تک رشته ای مثبت بوده، با وزن مولکولی  $14/5\text{ KB}$  که حدود  $5-6$  درصد از کل وزن ویروس را تشکیل می دهد و شامل  $8$  ORF می باشد (۶ و ۱۹). بزرگ ترین محصول، پروتئینی  $295$  کیلو دالتونی با ماهیت متیل ترانسفرازی و هلیکازی است که تولید  $\text{ORF1ab}$  RNA-dependent RNA- $\text{ORF 1b}$  polymerase با وزن مولکولی تقریبی  $53$  کیلو دالتون است. محصول  $2$  ORF یک پروتئین  $64$  کیلو دالتونی است که احتمالاً امکان حرکت سلول به سلول ویروس را فراهم می کند ( $6$  و  $10$ ). فراورده  $65$  کیلو دالتونی  $3$  ORF اولین عضو خانواده پروتئین های  $70$  HSP است (۱۰).  $4$  ORF  $4$  پروتئینی  $64$  کیلو دالتونی را تولید می کند که توالی آن شبیه به پروتئین  $90$  HSP است.  $5$  ORF  $6$  پروتئین پوششی ذره ویروس را تولید می کند. پروتئین های  $20$  و  $21$  کیلو دالتونی که به ترتیب توسط  $7$  ORF  $8$  تولید می شوند، شبیه به پروتئین های همولوگ  $^{CTV}$  هستند (۱۰).

تشخیص بیماری از روی خصوصیات ظاهری گیاهان آلوده مشکل می باشد. چون با بزرگ شدن و رشد گیاه علائم زردی ممکن است در اثر آلودگی قارچی *Peronospora farinose*، کمبود عناصر ریزمغذی، تنش خشکی، فشردگی خاک و یا خسارت ریشه توسط آفات مختلف ظاهر شود (۱۸). بوته های چغندرقند که در اوایل فصل رشد به ویروس آلوده می شوند، از نظر اندازه کوتاه باقی مانده، برگ ها حالت کلروتیک به خود گرفته و علائم زرد شدن یا روشن شدن رگبرگ ها را نشان می دهند. رگبرگ ها به رنگ زرد روشن درآمده و یا گاهی ظاهری نکروتیک پیدا می کنند. در برگ های مسن که معمولاً در قسمت خارجی بوته قرار دارند، نواحی بین رگبرگی به رنگ زرد تغییر رنگ می دهند. این نوع برگ ها ضخیم، چرمی و شکننده می شوند (۱۷).

انتقال مکانیکی این ویروس به سختی امکان پذیر است (۱۱ و ۱۹). انتقال از طریق شته و به روش نیمه پایا می باشد (۱۸). از بین  $28$  گونه شته ناقل، *Myzus persicae* کارآمدترین ناقل است (۱۰). حداقل زمان تغذیه برای دریافت ویروس و تلقیح به میزان  $5$  تا  $10$  دقیقه است و حداقل انتقال بین  $6$  تا  $12$  ساعت بعد از تغذیه صورت می گیرد. تاکنون نشانه ای دال بر دوره نهفتگی مشاهده نشده است. ناقلين بعد از تعویض جلد عاری از ویروس می شوند (۱). اکثر محققان برای انتقال ویروس در آزمونهای گلخانه ای از *M.persicae* استفاده کرده اند (۱۲، ۱۳، ۱۷).

1- Open Reading Frame

2- Heat Shock Proteins

3- Citrus Tristeza Virus

شده در آزمون PCR از این قرار بود: یک سیکل مرحله واسرثت سازی اولیه به مدت ۵ دقیقه و تحت دمای  $94^{\circ}\text{C}$  سیکل به ترتیب مراحل Annealing به مدت ۶۰ ثانیه تحت دمای  $94^{\circ}\text{C}$  Denaturation به مدت ۶۰ ثانیه تحت دمای  $50^{\circ}\text{C}$  Extension به مدت ۶۰ ثانیه تحت دمای  $72^{\circ}\text{C}$  در نهایت یک سیکل مرحله تکمیل پلیمریزاسیون به مدت ۱۰ دقیقه تحت دمای  $72^{\circ}\text{C}$ .

کیفیت قطعات تکثیر شده حاصل از واکنش بر روی ژل آگارز ۱٪ بررسی شد. بدین منظور ۷ میکرولیتر از هر نمونه همراه با ۲ میکرولیتر بافر رنگ در ۷۵ ولت به مدت ۹۰ دقیقه الکتروفوروز شد. بعد از طی مراحل رنگ آمیزی و رنگ بری، عکسبرداری توسط دستگاه gel documentation انجام و سپس تجزیه و تحلیل بر روی آن صورت گرفت.

## نتایج

### بررسی پراکنش BYV بر اساس نتایج حاصله از آزمون الایزا

بر اساس نتایج به دست آمده، آلودگی به ویروس BYV در کلیه مناطق نمونه برداری شده مشاهده شد. به طور کلی متوسط میزان پراکنش این ویروس در این سال در استان خراسان رضوی دارای درصد پائینی ( $10$  درصد) می باشد. جدول ۱ تعداد نمونه های جمع آوری شده، تعداد نمونه آلوده و درصد پراکندگی ویروس را در شهرستان های مختلف استان نشان می دهد.

از مجموع  $530$  نمونه جمع آوری شده،  $53$  نمونه آلوده به ویروس BYV بودند که بیشترین میزان آلودگی در شهرستان تربت حیدریه ( $17/8$  درصد) و کمترین میزان در شهرستان نیشابور ( $4/8$  درصد) تخمین زده شد.

### نتایج به دست آمده از واکنش زنجیره ای پلیمراز (RT-PCR)

شناسایی ویروس زردی چندرقد در این تحقیق با استفاده از تکنیک RT-PCR و آغازگرهای اختصاصی، بر روی  $53$  نمونه آلوده شناسایی شده با استفاده از آزمون الایزا، با موفقیت انجام گردید. با استفاده از سایز مارکر  $100\text{ bp}$ <sup>۱</sup> قطعه تکثیر یافته ای به اندازه  $332$  جفت باز که مربوط به ویروس در نمونه های مورد آزمایش بود، مشخص گردید. در صورتیکه در شاهد منفی هیچ باند مشاهده نشد، وجود ناحیه تکثیر شده مذکور در نمونه ها نشان از آلودگی این ویروس در مناطق بررسی شده است. این نتایج با نتایجی که در منابع آمده است، مطابقت دارد (۲۱) (شکل ۱).

6- 100bp DNA Ladder

کلارک و آدامز انجام شد (۷). آنتی سرم مورد استفاده در این تحقیق جهت شناسایی ویروس موردنظر از مؤسسه DSMZ آلمان تهیه شد. به منظور ارزیابی نتایج نمونه ها براساس تغییر رنگ آنها نسبت به شاهد منفی مقایسه شدند. دامنه تغییر رنگ از تا زرد پررنگ بود که با چشم غیر مسلح یا با استفاده از دستگاه قرائت خوان الایزا در طول موج  $405$  نانومتر مورد ارزیابی قرار گرفت.

## استخراج RNA

استخراج RNA بر اساس روش رسوب با PEG6000<sup>۲</sup> انجام شد (۱۵). کیفیت RNA به دست آمده، بر روی ژل آگارز ۱٪ در دستگاه الکتروفوروز با ولتاژ ثابت  $75$  ولت به مدت  $1$  ساعت بررسی گردید.

## سنتز cDNA از RNA استخراج شده (مرحله RT)

جهت سنتز cDNA از RNA ویروس، به آغازگرهای اختصاصی جهت شروع واکنش نیاز می باشد. توالی آغازگر رفت (BYV(F))<sup>۳</sup> به صورت  $5'-13664-13686-3'$  و آغازگر GCAATCGCGACTTTGAAAAACGT-3' برگشت (BYV(R))<sup>۴</sup> به صورت  $5'-14016-13994-3'$  می باشد GATATGTAGTCCTCTGAAAAGT-3' (۲۱). آغازگرهای مورد استفاده برای این ویروس، که مربوط به قسمتی از ژنوم که مسئول ساخت پروتئین پوششی ویروس است، با توجه به غلظت مورد نیاز با آب مقطر تزریقاتی سترون رقیق شدند. سنتز cDNA به دو روش انجام شد. یک روش به صورت معمولی و Accu Power<sup>(R)</sup> RT Pre Mix کیت توسط دیگر که صورت گرفت.

## تکثیر قطعه cDNA با استفاده از واکنش زنجیره ای پلیمراز (PCR)

در این تحقیق واکنش زنجیره ای پلیمراز به صورت معمولی و نیز توسط کیت GenePak PCR Core در دستگاه ترموسایکلر<sup>۵</sup> ساخت شرکت آلمانی Biometra انجام شد. برنامه دمایی PCR با توجه به دمای اتصال پرایمرهای رفت و برگشت، جهت مشاهده باند مورد نظر( $332\text{ bp}$ )، با انجام مکرر آزمون تنظیم گردید. برنامه دمایی استفاده

1- Poly ethylene glycole

2- primer

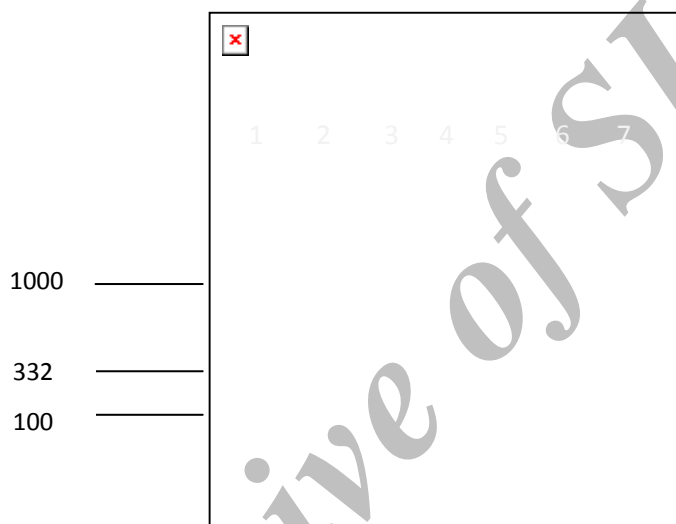
3- Forward

4- Reverse

5- Termocycler

جدول ۱- تعداد نمونه های جمع آوری شده، تعداد نمونه آلوده و درصد فراوانی ویروس BYV در مناطق مختلف استان خراسان رضوی در سال ۱۳۸۶

ردیف	مناطق نمونه برداری شده	جمع آوری شده	تعداد نمونه های	تعداد نمونه آلوده	درصد آلودگی
۱	فربیان	۷۵		۸	۱۰/۷
۲	تریت جام	۵۰		۳	۶
۳	قوچان	۹۰		۹	۱۰
۴	چناران	۶۰		۷	۱۱/۷
۵	تریت حیدریه	۹۰		۱۶	۱۷/۸
۶	کاشمر	۳۰		۳	۱۰
۷	نیشابور	۱۰۵		۵	۴/۸
۸	مشهد	۳۰		۲	۶/۷



شکل ۱- قطعه تکثیر شده ۳۳۲bp مربوط به ویروس زردی چندرقند بر روی ژل آگارز ۱٪  
چاهک اول و هفتم نشانگر DNA، چاهک دوم و سوم و چهارم و پنجم قطعه تکثیر شده BYV، چاهک ششم شاهد منفی

از واکنش زنجیره ای پلیمراز به منظور تشخیص دقیق تر ویروس زردی چندرقند در استان استفاده شد، که مقایسه دو روش ELISA و RT-PCR در تشخیص ویروس BYV. حاکی از این بود که روش RT-PCR با وجود زمان بر بودن و هزینه بری بالا، حساسیت بالایی نسبت به روش ELISA دارد و نیز اینکه RT-PCR نسبت به غلظت بسیار کم ویروس به خوبی و با حساسیت بالا عمل می کند. به عنوان مثال استیونس و همکاران در مقاله ای تحت عنوان مقایسه دو روش ELISA و RT-PCR جهت شناسایی ویروس زردی چندرقند در گیاه و شته نشان دادند که یک دهم از RNA کل استخراجی ویروس از شته حامل، می تواند برای شناسایی ویروس زردی RT-PCR مورد استفاده قرار گیرد (۲۱). از نتایج مؤثر در شناسایی مولکولی با کمک روش RT-PCR، می توان به ردیابی و تعیین برخی از خصوصیات مولکولی ویروس زردی چندرقند در استان

## بحث

وجود بیماری زردی ویروسی در چندرکاری های کرج، اراک، کرمانشاه، بروجرد و احتمالاً در قزوین و همدان به اثبات رسیده است (۲). ایزدپناه (۳) در سال ۱۳۶۱ این بیماری را در برخی از مزارع منطقه فارس مشاهده نموده است. تا به این زمان بحث و بررسی درباره این ویروس ادامه دارد.

از آنجایی که استان خراسان رضوی به دلیل دارا بودن رتبه نخست از نظر سطح زیر کشت و میزان تولید، یکی از قطب های مهم کشت چندر در سطح کشور است و همچینین به دلیل اهمیت ویروس زردی چندرقند، بررسی و تعیین پراکنش این ویروس در سطح استان خراسان رضوی در سال ۱۳۸۶ با استفاده از آزمون های سروولوژیکی(DAS-ELISA) و مولکولی(RT-PCR) انجام گرفت.

را می طلبد. از جمله این اقدامات پیشگیرانه می توان به بررسی وکشت ارقام، اجرای برنامه های سم پاشی علیه شته ها در اوایل فصل رشد و قبل تکثیر سریع آن ها در مزرعه، خودداری از کشت اسفناج زمستانی در مناطق چوندرکاری، کاشت زودهنگام چوندرقد، شناسایی کامل علف های هرز میزان این ویروس و از بین بردن آن ها اشاره کرد.

در آخر ذکر این نکته ضروری است که در برخی از مناطق درصد آلودگی مزارع بسیار بالا بود و گیاهان علائم زردی شدید را نشان می دادند، در صورتی که بعد از انجام آزمون آیزا مشخص شد که بسیاری از نمونه های جمع آوری شده، آلوده به ویروس زردی چوندرقد نبود بلکه احتمالاً به سایر ویروس هایی که علائم زردی را در گیاه ایجاد می کنند، آلوده بوده اند. لذا توصیه می شود در طرح جامعی، هم زمان ویروس های عامل زردی در چوندرقد (Beet yellows virus, Beet western yellows virus, Beet mild yellowing virus, Beet chlorosis virus, Beet yellow stunt virus, ویروس ها در ایجاد آلودگی مشخص شود. به علاوه دامنه بررسی ها فراتر از استان خراسان رضوی رفته و در تمام استان های خراسان و حتی در استان های مجاور نیز انجام شود.

اصفهان توسط زهرا تابع جماعت اشاره کرد (۵).

در آزمون مولکولی انجام شده، جهت سنتز قطعه cDNA و همچنین تکثیر آن با کمک روش واکنش زنجیره ای پلیمراژ (PCR) علاوه بر روش معمول، به ترتیب از کیت های Accu GenePak PCR Core و Power<sup>(R)</sup> RT Pre Mix استفاده گردید. استفاده از کیت در مقایسه با روش معمول آن نشان داد که، علاوه بر سرعت و سهولت، میزان آلودگی و خطای آزمایش، در حین انجام کار بسیار کاهش می یابد.

در بررسی های صورت گرفته برروی نمونه های جمع آوری شده از مزارع سطح استان خراسان رضوی در سال ۱۳۸۶ مشخص گردید که پراکنده ای ویروس زردی چوندرقد با اینکه در تمامی مناطق به نسبت های مختلف وجود داشت ولی خوبیختانه هنوز به درصد نگران کننده ای نرسیده است. با این حال ذکر این نکته ضروری است که متوسط میزان پراکنش تعیین شده در این سال (۱۰ درصد) در مقایسه با میزان تعیین شده در سال ۱۳۷۹ (۷/۴ درصد) نشانگر رشد صعودی انتشار این بیماری در سطح استان می باشد. با این حال با توجه به نبود روش مؤثر برای کنترل بیماری های ویروسی و همچنین احتمال افزایش میزان پراکنش این ویروس در صورت مساعد بودن شرایط در سال های آتی، اقدامات پیشگیرانه ای

## منابع

- ارجمند م.ن. ۱۳۷۷. بیماری های چوندرقد(۳۵۷-۴۴۲)، در "چوندرقد از علم تا عمل"، تألیف دی. آ. کوک، آر. کی. اسکات. چاپ اول، نشر علوم کشاورزی، تهران.
- اسکندری ف، آل آفان، حجارود ق. و همتی ک. ۱۳۴۸. بیماری های چوندرقد در ایران. نشریه شماره ۱۰۶ گروه گیاهپزشکی، دانشکده کشاورزی، دانشگاه تهران.
- ایزدپناه ک. ۱۳۶۱. لیست مشروح بیماری های ویروسی و شبیه ویروسی گیاهی در فارس، جهاد دانشگاهی شیراز، شیراز.
- بیات ح. ۱۳۷۹. شناسایی و تعیین پراکنش ویروس زردی چوندرقد(BYV) و ویروس زردی غربی چوندرقد(BWYV) در شمال استان خراسان. پایان نامه کارشناسی ارشد، دانشگاه فردوسی مشهد.
- تابع جماعت ز، مساح ا و آهون منش ع. ۱۳۸۷. ردیابی و تعیین برخی از خصوصیات مولکولی ویروس زردی چوندرقد (Beet yellows virus) در استان اصفهان. خلاصه مقالات هجدهمین کنگره گیاهپزشکی ایران، جلد دوم بیماری های گیاهی. همدان.
- Agronovsky A.A., Lesemann D.E. 2000. Homepage of Description of Plant viruses. *Beet yellows virus* Available online at: <http://www.dpvweb.net/dpv/showdpv.php?dpvno=377>.
- Clark M.F., and Adams A.N. 1977. Characterization of the microplate method of Enzyme-linked Immunosorbent Assay for the detection of plant virus. *Journal of General Virology* 34: 475-483.
- Clinch P.E.M., and Loughnane J.B. 1948. Seed transmission of virus yellows of sugar beet (*Beta vulgaris* L.) and the existence of strains of this virus in Eire. *Royal Dublin Society Proceedings* 24: 307-18.
- Dolja V.V. 2003. *Beet yellows virus*: the importance of being different. *Molecular Plant Pathology* 4: 91-98.
- Dolja V.V., Karasev A.V., Koonin E.V. 1994. Molecular biology and evolution of closterovirus: Sophisticated Build-up of large RNA genomes. *Annual Review of Phytopatology* 32: 261-285.
- Polak J. 1971. Physical properties and serological relationship *beet yellows virus* strains. *Phytopatology* 72: 235-244.
- Reed R.R., and Falk B.W. 1989. Purification and partial characterization of *beet yellow stunt virus*. *Plant Diseases* 73: 358-362.

- ۲۵۷
- 13-Rogov V.V., Karasev A.V., and Agronovsky A.A. 1993. Purification and some properties of an isolate of *beet yellows virus* from Ukrain. Journal of Phytopathology 137: 79- 88.
  - 14-Russell G.E. 1958. Sugar beet yellows: a preliminary study of the distribution and interrelationships of viruses and virus strains found in East Auglia, 1955-57. Annals of Applied Biology 46: 393-8.
  - 15-Schmitz A. 2003. Untersuchungen Zum Pathogenitatsmechanismus Von Viroid RNA. Thesis, Heinrich Heine Universitat Dusseldorf , Germany.
  - 16-Sherf A.F., and MacNab A.A. 1986. Vegetable disease and their control. Second edition, A wiley Interscience Publication, John Wiley & Son. New york.
  - 17-Smith H.G. 1989. Distribution and infectivity of yellowing viruses in field grown sugarbeet plants. Annual of Applied Biology 114: 481-487.
  - 18-Smith H.G., and Hinckes J.A. 1987. Study of the distribution of yellowing viruses in the sugarbeet root crop from 1981 to 1984. Plant Pathology 39: 125-134.
  - 19-Smith H.G., and Karasev A. 1991. Homepage of Plant Viruses Online, Descriptions and Lists from the VIDE Database. Beet yellows closterovirus Available online at: <http://image.fs.uidaho.edu/vide/descr093.htm> .
  - 20-Stevens M., Smith H.G., and Hallsworth P.B. 1994. The host range of beet yellowing virus among common arable weed specieses. Plant Pathology 43: 579-588.
  - 21-Stevens M., Hull R., and Smith H.G. 1997. Comparison of ELISA and RT-PCR for the detection of beet yellows closterovirus in plants and aphids. Journal of Virological Methods 68: 9-16.
  - 22-Watson M.A. 1940. Studies on the transmission of sugar beet yellows virus by the aphid, *Myzus persicae* (Sulz.). Proceeding of the Royal Society, London, Ser.B 128:535-52.
  - 23-Watson M.W. 1952. *Beet yellows virus* and other yellowing virus diseases of sugar beet. Rothamsted Experimental Station Report for 1951, 157-67.